



Research Article
Vol. 38, No. 4, Sep.-Oct. 2024, p. 525-540

Evaluating Aquifer's Hydrodynamic Parameters Using Pumping Tests and Geoelectric Data

(Case Study: Alluvial Aquifer in the Northeast of Gachsaran City)

A. Khedri¹, A. Saberinasr^{1*}, N. Kalantari¹

1- Director of Kusar Dam, Kohgiluyeh and Boyer-Ahmad Regional Water Authority, Yasuj, Iran

2 and 3- Assistant Professor and Full Professor in Hydrogeology, Faculty of Earth Sciences, Shahid Chamran University of Ahvaz, Ahvaz, Iran, respectively.

(* Corresponding Author Email: a.saberinasr@scu.ac.ir)

Received: 21-02-2024

Revised: 08-07-2024

Accepted: 20-07-2024

Available Online: 20-07-2024

How to cite this article:

Khedri, A., Saberinasr, A., & Kalantari, N. (2024). Evaluating aquifer's hydrodynamic parameters using pumping tests and geoelectric data (Case study: alluvial aquifer in the Northeast of Gachsaran City). *Journal of Water and Soil*, 38(4), 525-540. (In Persian with English abstract). <https://doi.org/10.22067/jsw.2024.86955.1389>

Introduction

The comprehension of the hydrogeological conditions of the aquifer and the determination of its hydraulic characteristics, such as hydraulic conductivity, transmissivity coefficient, and specific storage, are crucial for the management and preservation of groundwater resources. Various conventional methods, including empirical formulas, laboratory techniques (constant and falling head), tracer tests, field tests (Lugeon, Lefranc, slug, flowmeter, and pumping tests), and groundwater inverse modeling, are employed to establish these characteristics, particularly hydraulic conductivity. Empirical formulas are limited to ideal conditions, and in laboratory methods, the sample must be kept undisturbed. Due to the impracticality of measuring large-scale effective factors, the hydraulic conductivity determined through laboratory methods is also the only representative of the hydraulic conductivity at the sampling point. Tracer studies encounter numerous constraints, such as time, cost, porosity determination, and tracer dispersion in multilayered aquifers. It is also difficult to determine the average hydrodynamic properties of the heterogeneous aquifer based on the data obtained from a specific section of the Lefranc and Slug tests. Consequently, pumping tests are commonly selected for hydraulic parameter estimation. Although costly and time-intensive, these tests provide more precise coefficients. Geophysical methods have been greatly developed during the last two decades and have shown a significant correlation with the hydraulic parameters of the aquifer derived from borehole pumping tests or direct laboratory measurements. This approach minimizes uncertainties in numerical model calibration, improves data coverage, and reduces the time and cost of regional hydrogeological investigations. The conventional approach, known as the electrical resistivity method, is still widely used in global and local research projects for evaluating aquifer hydraulic characteristics ([Ige et al., 2018](#); [Arétouyap et al., 2019](#); [Youssef, 2020](#); [Ullah et al., 2020](#); [de Almeida et al., 2021](#); [Lekone et al., 2023](#)). Therefore, this study aims to use the integrated approach of the geophysical method and pumping test as a cost-effective and efficient alternative for estimating the hydraulic parameters of the alluvial aquifer in the northeast of Gachsaran city.

Material and Methods

The research area is an alluvial aquifer located 5 km to the northeast of Gachsaran, between coordinates 50-52 to 51-09 E longitude and 30-15 to 30-28 N latitude. Using 86 vertical electrical soundings, Archie's equations, and the IPI2win software, the hydraulic characteristics of the aquifer under investigation were estimated. Subsequently, these characteristics were then compared to the coefficients derived from the data of two pumping



©2024 The author(s). This is an open access article distributed under [Creative Commons Attribution 4.0 International License \(CC BY 4.0\)](#).

<https://doi.org/10.22067/jsw.2024.86955.1389>

test wells, which were calculated using the Aquifer test software and obtained via the Cooper-Jacob and Neuman methods.

Results and discussion

The hydrodynamic coefficients of the aquifer were initially determined using the Cooper-Jacob method in this study. The hydraulic conductivity values for wells one and two are 4.9 m/day and 5.7 m/day, respectively. Correspondingly, the storage coefficient values for wells one and two are 0.015 and 0.021, respectively. Based on the Cooper-Jacob approach, it is deduced that if the storage coefficient values exceed 0.001, the aquifer is classified as unconfined. In this study, the storage coefficient values for both pumping wells suggest that the aquifer is unconfined. Since the vertical flow component and the delayed yield phenomenon should also be taken into account in unconfined aquifers, the Neuman analytical model has been used in the studied aquifer. The values of specific yield (S_y) for pumping wells one and two, which are related to delayed yield, are 0.05 and 0.04, respectively. These values were calculated by analyzing the first segment of the curve derived from the Neuman logarithmic drawdown-time plot. The storage coefficient values for pumping wells one and two, extracted from the second section of the curve, are 0.015 and 0.021, respectively. Furthermore, the transmissivity value for well number 1 was 323 m²/day, while for well number 2, it was 655.5 m²/day. The vertical electrical sounding (VES) data were subsequently initially analyzed and interpreted using the IPI2win software and the equalization curve method (partial curve matching technique). The coefficients denoted as m and n , indicative of the degree of cementation of the sediments, were determined based on the sedimentary composition prevalent in the area. Archie's equations were employed to calculate the formation factor and porosity parameters. The aquifer exhibits a porosity range of approximately 0.15 in the eastern and southeastern parts (near the outlet of the plain) and around 0.41 in the central, northern, and northwestern sections of the area (next to the Asmari Formation). The specific yield (S_y) of the aquifer was calculated using the provided formula:

$$S_y = \left(\frac{\rho_w}{\rho_{sat}} \right)^{\frac{1}{m}} \left[1 - \left(\frac{\rho_{sat}}{\rho_{unsat}} \right)^{\frac{1}{n}} \right]$$

The minimum and maximum specific yield were estimated as 0.006 (in the eastern and southeastern regions) and 0.089 (in the western and northwestern regions of the plain), respectively, with an average value of 0.04. The transmissivity coefficients for the entire aquifer were then calculated based on the fitted relationship between hydraulic conductivity (K) and formation factor (F):

$$T = Kb = (K = -0.1x^2 + 2.05x - 4.5) \times b$$

The range of transmissivity coefficients varies from a minimum of 63 m²/day (in the western and northwestern sections of the plain) to a maximum of 608.9 m²/day (in the eastern and southeastern areas). The average transmissivity coefficient is calculated as 323.7 m²/day. To ensure the precision of the geoelectric method's coefficients, a comparative analysis was conducted with the hydrodynamic coefficients obtained from the two pumping test wells, as presented in the table below:

Well No.	K(m/d)		T(m ² /d)		Sy	
	PT*	VES*	PT	VES	PT	VES
1	4.9	3.6	323	237	0.05	0.05
2	5.7	5.5	655.5	632.5	0.04	0.03

*PT: Pumping Test; VES: Vertical Electrical Sounding

Conclusion

The evaluation and comparison of the hydrodynamic coefficients derived from the aforementioned methods indicate that the geoelectric method coefficients exhibit acceptable agreement with the pumping test coefficients. In other words, the analysis of the pumping test conducted using the Neuman technique in the unconfined aquifer revealed that well number two displayed a greater transmissivity coefficient, while well number one presented a higher specific yield. These findings are confirmed by the geoelectric approach. Consequently, such hybrid approaches, which include simultaneous analysis of geophysical methods (such as VES) and pumping tests will be a great alternative to multiple costly pumping tests for evaluating the hydrodynamic coefficients of an aquifer. Moreover, employing this hybrid technique enables the generation of dense hydrodynamic coefficients in an aquifer for use as inputs in the groundwater model.

Keywords: Gachsaran, Hydrodynamic coefficients, Pumping Test, Vertical Electrical Soundings

مقاله پژوهشی

جلد ۳۸، شماره ۴، مهر-آبان ۱۴۰۳، ص. ۵۲۵-۵۴۰

ارزیابی پارامترهای هیدرودینامیکی آبخوان با استفاده از اطلاعات آزمون پمپاژ و ژئوالکتریک

(مطالعه موردنی: آبخوان آبرفتی شمال شرق گچساران)

اکبر خدری^۱- امیر صابری نصر^{۲*}- ناصرالله کلاتری^۳

تاریخ دریافت: ۱۴۰۲/۱۲/۰۲

تاریخ پذیرش: ۱۴۰۳/۰۴/۳۰

چکیده

پارامترهای هیدرودینامیکی آبخوان اهمیت ویژه‌ای در تمام بررسی‌های هیدرولوژیکی دارد و یکی از معضلات مهم در محاسبات هیدرولوژیکی و مدیریت آبخوان‌ها عدم دسترسی به داده‌های قابل اطمینان می‌باشد. روش‌های مختلفی برای تخمین و تعیین پارامترهای هیدرودینامیکی آبخوان‌ها وجود دارد که دقیق‌ترین آن‌ها استفاده از داده‌های آزمون پمپاژ است، علاوه بر آن، داده‌های ژئوالکتریکی نیز حائز اهمیت می‌باشد. در این تحقیق از اطلاعات آزمون پمپاژ دو چاه اکتشافی و ۸۶ سونداز قائم ژئوالکتریکی به روش مقاومت ویژه جهت ارزیابی پارامترهای هیدرودینامیکی آبخوان آبرفتی شمال شرق شهر گچساران استفاده شده است. پارامترهای هیدرودینامیکی آبخوان همچون هدایت هیدرولیکی، ضربی قابلیت انتقال و آبدهی ویژه با استفاده از داده‌های آزمون پمپاژ دو چاه اکتشافی به روش کوپر-ژاکوب و نیومن تعیین شد، سپس همین پارامترهای هیدرودینامیکی با استفاده از داده‌های ژئوالکتریکی (سونداز الکتریکی قائم) نیز محاسبه و با داده‌های آزمایش پمپاژ مقایسه شدند. پس از بررسی پارامترهای به دست آمده از آزمون پمپاژ چاه‌های شماره یک و دو به روش نیومن در آبخوان آزاد معلوم گردید که ضربی قابلیت انتقال برای چاه شماره دو ($665/5$ متر مربع بر روز) که در قسمت شرقی آبخوان قرار دارد مقدار بیشتری است و با روش ژئوالکتریک ($632/5$ متر مربع بر روز) همچنین مقدار آبدهی ویژه در روش آزمون پمپاژ چاه شماره یک ($0/05$) مقدار بیشتری است که باز هم روش ژئوالکتریک ($0/05$) آن را تأیید می‌کند. تمامی نتایج نشان‌دهنده تخمین مطلوب پارامترهای هیدرودینامیکی توسط روش ژئوالکتریکی است و روش آزمون پمپاژ نیز بر آن صحه می‌گذارد؛ لذا از روش ژئوالکتریکی می‌توان در تصمیم‌گیری و برنامه‌ریزی‌های حفاری‌های آینده در منطقه استفاده نمود.

واژه‌های کلیدی: آزمون پمپاژ، پارامترهای هیدرودینامیک، سونداز قائم ژئوالکتریکی، گچساران

مقدمه

شرایط هیدرولوژیکی آبخوان و تعیین پارامترهای هیدرولیکی آن، مانند هدایت هیدرولیکی، ضربی قابلیت انتقال و ذخیره ویژه، بسیار مهم است. مدل‌سازی و نحوه انتقال آلانددها نیز به خصوصیات هیدرولیکی آبخوان وابسته است؛ به طوری که ممکن است تغییرات جزئی در خواص هیدرولیکی، رفتارهای انتقال مواد را به مقدار قابل توجهی تغییر دهد. تعیین این خصوصیات (به‌ویژه K) به‌وسیله تجزیه و تحلیل روش‌های مرسوم مختلفی، از جمله فرمول‌های تجربی (Lashkaripour et al., 2013)، روش‌های آزمایشگاهی (بار

به‌دلیل افزایش روزافزون جمعیت و متعاقب آن فعالیت‌های کشاورزی، نیاز به استفاده از منابع آب زیرزمینی در سراسر جهان گسترش یافته است (Song et al., 2011). این مسئله لزوم توجه به این منابع و مدیریت بهینه آن‌ها را به‌ویژه در مناطق خشکی، مانند ایران، به عنوان اصلی ترین منابع تأمین پایدار آب، دوچندان می‌کند. به‌طور کلی، برای مدیریت و حفاظت از منابع آب زیرزمینی شناخت

(*)- نویسنده مسئول: (Email: a.saberinasr@scu.ac.ir

<https://doi.org/10.22067/jsw.2024.86955.1389>

۱- مدیر سد کوثر، شرکت آب منطقه‌ای کهگیلویه و بویراحمد، یاسوج، ایران

۲- بهترتب استادیار و استاد هیدرولوژی، دانشکده علوم زمین، دانشگاه شهید

چمران اهواز، اهواز، ایران

را برای تخمین مستقیم پارامترهای آبخوان از داده‌های ژئوفیزیکی، نظری مقاومت ویژه الکتریکی باز کرد؛ زیرا هر دو ویژگی الکتریکی و هیدرولیکی اطلاعات ارزشمندی را در مورد هندسه فضای منافذ و ناهمگنی آبخوان می‌دهند. بنابراین، از همبستگی پارامترهای الکتریکی به دست آمده با استفاده از هر دو روش آزمون پمپاژ و همچنین تحلیل داده‌های مقاومت ویژه سطحی می‌توان داده‌های قابل اعتمادتری را از ویژگی‌های هیدرولیکی آبخوان به دست آورد. علاوه بر این، با این رویکرد، می‌توان عدم قطعیت‌ها را در کالیبراسیون مدل عددی کاهش داد، پوشش داده‌ها را بهبود بخشد و زمان و هزینه تحقیقات هیدرولوژیکی را در مقیاس منطقه‌ای کاهش داد. به همین دلیل، استفاده از روش‌های ژئوفیزیکی به عنوان یک تکنیک مکمل مؤثر، به ویژه در کشورهای در حال توسعه که نیاز به بهینه‌سازی منابع ضروری است، مطرح می‌شود.

اگرچه سایر روش‌های ژئوفیزیکی کلاسیک نظری پتانسیل خودزای روش انکساری لرزه‌ای، رادارهای نفوذی به زمین^۱، تکنیک‌های الکترومغناطیسی حوزه زمان و فرکانس، پلاریزاسیون القابی و غیره در کمی سازی پارامترهای آبخوان و نقشه‌برداری زیر سطحی گسترش و پیشرفت قابل توجهی داشته است؛ با این وجود، استفاده وسیع از رویکرد مرسوم، یعنی روش مقاومت ویژه الکتریکی، در تخمین پارامترهای هیدرولیکی سفره‌های آب زیرزمینی در بسیاری از پژوهش‌ها در سطوح بین‌المللی و محلی ادامه دارد (Ige *et al.*, 2018; Arétouyap *et al.*, 2019; Youssef, 2020; Ullah *et al.*, 2020; de Almeida *et al.*, 2021; Lekone *et al.*, 2023)؛ برای مثال پرdomo و همکاران (Perdomo *et al.*, 2014) روشی برای استخراج پارامترهای هیدرولیکی با ترکیب داده‌های هیدرولوژی کلاسیک با اندازه‌گیری‌های ژئوفیزیکی پیشنهاد دادند. آن‌ها نتایج مطالعه خود را با نتایج قبلی از سایر نویسندها مقایسه کردند که همخوانی بالایی را آن‌ها نشان می‌داد. کازاکیس و همکاران (Kazakis *et al.*, 2016) از روش‌های ژئوالکتریکی و مقایسه آن با نتایج آزمون پمپاژ، برای تخمین تخلخل، هدایت هیدرولیکی و قابلیت انتقال در یک آبخوان متخلخل استفاده کردند. بدین منظور، مقاومت الکتریکی آبخوان و همچنین هدایت الکتریکی آب زیرزمینی در ۳۷ سایت و چاه اندازه‌گیری شد. ضرایب با استفاده از قانون آرچی^۲ محاسبه و همبستگی بالایی را با نتایج آزمون پمپاژ نشان داد. علاوه بر این، یک رابطه بین مقاومت الکتریکی و هدایت هیدرولیکی برای آبخوان مورد مطالعه ایجاد شد تا امکان برآوردن این پارامترها در سایت‌های فاقد داده فراهم شود. عبدالرزاقد و همکاران (Abdulrazzaq *et al.*, 2020) از تکنیک‌های سونداز الکتریکی قائم^۳ و تصویربرداری مقاومت الکتریکی دو بعدی^۴ برای برآورد پارامترهای

ثابت و افغان (Hatami Golmakani *et al.*, 2017) آزمایش‌های ردیا بی (Yeh *et al.*, 2000; Crestani *et al.*, 2015; Vu & Jardani, 2022) آزمایش‌های صحرایی (آزمایش لوژان، لوفران، Calvache *et al.*, 2016; Hasan *et al.*, 2019; Falowo *et al.*, 2019 Vogeler *et al.*, 2019) مدل سازی معکوس آب زیرزمینی (Minutti *et al.*, 2020) صورت می‌گیرد. فرمول‌های ذرات محیط متخلخل ارائه شده‌اند و نسبت به سایر روش‌ها دقت پایین‌تری دارند. در روش‌های آزمایشگاهی نیز حفظ دست‌نخوردگی نمونه ضروری است. ضمن آن که هدایت هیدرولیکی تعیین شده با روش‌های آزمایشگاهی تنها معرف هدایت هیدرولیکی در نقطه نمونه‌برداری شده است. علاوه بر این، بسیاری از عوامل بزرگ مقیاس مؤثر در ضرایب هیدرودینامیکی آبخوان، در نمونه‌های آزمایشگاهی قابل برداشت و اندازه‌گیری نیست. مطالعات ردیابی نیز با محدودیت‌های فراوانی نظری، زمان و هزینه مواجه است. علاوه بر این، در آبخوان‌های چندلایه، حرکت ردیاب در لایه با هدایت هیدرولیکی بالاتر ممکن است موجب خطا در اندازه‌گیری هدایت هیدرولیکی معادل گردد. در این روش به پارامتر تخلخل نیز نیاز است که اندازه‌گیری آن نیز خود یک مشکل بزرگ‌تر به حساب می‌آید. در آزمایش‌های لوفران و اسلامگنج نیز تعیین میانگین خواص هیدرودینامیکی سفره آبدار ناهمگن بر اساس داده‌های به دست آمده از یک مقطع خاص مشکل است؛ بنابراین پارامترهای هیدرولیکی مذکور، به ویژه هدایت هیدرولیکی و قابلیت انتقال، عموماً از طریق آزمون پمپاژ انجام شده بر روی گمانه‌های حفاری شده تخمین زده می‌شوند. اندازه‌گیری مستقیم ویژگی‌های هیدرولیکی به این روش نیز اگرچه از دقت قابل قبول تری برخوردار است، ولی در واقعیت چنین آزمایش‌هایی پرهزینه و زمان بر هستند و تنها می‌توانند اطلاعات مکانی محدودی را ارائه دهند. ضمن آنکه، آنالیز تخلیلی اولیه ویژگی‌های هیدرولیکی آبخوان در پاسخ به پمپاژ/ترزیق اغلب با فرض همگنی محیط انجام می‌گردد. این موضوع ممکن است برای استنباط ویژگی‌های ظاهری آبخوان کافی باشد؛ اما نمی‌تواند رفتار غیرماندگار آبخوان مورد آزمایش قرار گرفته را نشان دهد.

روش‌های ژئوفیزیکی در طول دو دهه گذشته توسعه زیادی یافته‌اند. در پژوهش‌هایی که در این مدت انجام شده است، ویژگی‌های الکتریکی آبخوان که از روش‌های ژئوفیزیکی به دست می‌آید، همبستگی قابل ملاحظه‌ای را با پارامترهای هیدرولیکی آبخوان حاصل از آزمایش‌های پمپاژ در گمانه‌ها یا از اندازه‌گیری‌های مستقیم آزمایشگاهی نشان داده است. این نتایج و مشاهدات، فضای تحقیقاتی

1- Ground-penetrating radar (GPR)

2- Archie's law

استفاده از ۸۶ سوندazer الکتریکی قائم و معادلات آرجی^۲، پارامترهای هیدرودینامیک آبخوان مورد مطالعه تخمین زده شد و با نتایج داده‌های آزمایش پمپاژ مقایسه انجام گردید.

مواد و روش‌ها

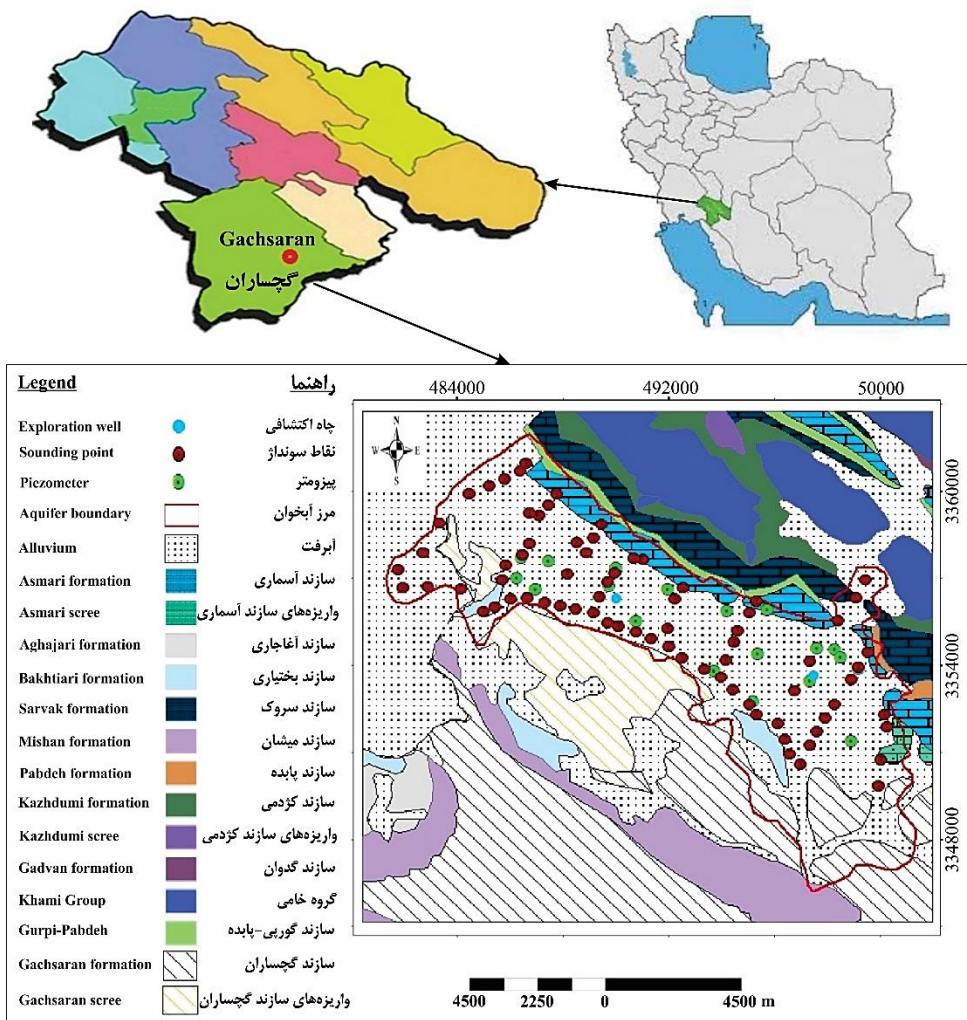
منطقه مورد مطالعه

محدوده مطالعاتی (شکل ۱)، در جنوب استان کهگیلویه و بویراحمد در ۵ کیلومتری شمال شهر گچساران بین مختصات ۵۰-۵۲^۳ الی ۵۱-۰۹ طول شرقی و ۳۰-۱۵^۴ الی ۳۰-۲۸ عرض شمالی و ارتفاع متوسط ۷۰۰ متر از سطح دریا واقع گردیده که از شمال به ارتفاعات کوه خامی، از جنوب به دشت کوچک سربیشه و بیدزرد و منتهی به رودخانه زهره، از شرق به دشت کوچک سربیشه و بیدزرد و از غرب به محدوده مطالعاتی دوگبندان و شهر گچساران محدود می‌شود. از لحاظ چینه‌شناسی حوضه آبریز محدوده مطالعه از نهشته‌های کرتاسه تا کواترنری تشکیل شده‌اند که از قدیم به جدید شامل گروه خامی (فهلیان، گدون، داریان)، کردی، ایلام-سرورک، پابده-گوری، آسماری، گچساران، میشان، بختیاری و آبرفت‌ها و رسوبات عهد حاضر می‌باشد (Darvishzadeh, 2003). بر اساس طبقه‌بندی دومارتن، آبخوان شمال شهر گچساران دارای اقلیم نیمه‌خشک و بر اساس طبقه‌بندی آمبرژه دارای اقلیم نیمه‌خشک معتدل می‌باشد.

آبخوان مورد مطالعه دارای امتدادی شمال‌غربی-جنوب‌شرقی است. با توجه به اطلاعات حاصل از پیزومترها جهت جریان آب زیرزمینی نیز در همین راستا است و نوع آبخوان از نوع آزاد می‌باشد. بخش عمده این آبخوان ناشی از فرسایش آهک‌ها و سازاندهای کربناتی بالادست بوده که مواد سازنده آن در ابتدای محدوده (بخش ورودی) و امتداد مخروط‌افکنه‌ها اغلب، درشت و از نوع قله‌سنگ، گراول، ماسه و گاهان رس و در نواحی میانی سفره با دانه‌بندی متوسط و در بخش خروجی آبخوان به طور معمول ریزدانه و از جنس سیلت و رس می‌باشد. بر اساس مطالعات ژئوفیزیک صورت گرفته (اطلاعات ۸۶ سوندazer الکتریکی قائم) متوسط ضخامت سفره، حدود ۱۳۵ متر است. جنس سنگ کف این آبخوان، در اغلب بخش‌ها، سازنده گچساران و در برخی نواحی دشت، آهک‌های نابرجای سازندهای آسماری و گنگلومرات بختیاری برآورده است. در شکل ۱ با استفاده از نقشه زمین‌شناسی پایه ورقه گچساران با مقیاس ۱:۱۰۰۰۰۰ نقشه زمین‌شناسی حوضه و دشت مورد مطالعه تهیه شده و موقعیت پیزومترها، نقاط سوندazer الکتریکی و دو چاهی که بر روی آن‌ها آزمایش پمپاژ انجام شده نمایش داده شده است.

هیدرولیکی آبخوان در منطقه مزارع فدق^۱ در فروافتادگی بحرالنجم، عراق استفاده کردند. آن‌ها پس از برآورد پارامترهای هیدرولیکی با روش‌های مذکور، درنهایت نقاط جدیدی برای حفاری چاه‌های جدید توصیه نمودند. حسن و همکاران (Hasan et al., 2021) از روش سوندazer الکتریکی قائم و مقایسه آن با روش آزمون پمپاژ در منطقه هویزو چین برای تعیین پارامترهای هیدرولیکی آبخوان موجود در سنگ هوازده استفاده کردند. روابط تجربی بین هدایت هیدرولیکی محاسبه شده از آزمون پمپاژ (Kw) و مقاومت آبخوان (pa)، و دیگری بین ضریب قابلیت انتقال حاصل از آزمون پمپاژ (Tw) و مقاومت عرضی (Tr) به دست آورده و از آن برای تخمین K و T برای همه نقاط سوندazer الکتریکی قائم که در آن‌ها آزمون پمپاژ انجام نشده بود، استفاده نمودند. از تحقیقات داخلی نیز می‌توان به مطالعه طاهری تیزرو و همکاران (Taheri-tizro et al., 2012) اشاره نمود. ایشان به مقایسه مشخصه‌های هیدرولیکی سفره‌های آب زیرزمینی برآورده شده با دو روش آزمون پمپاژ (افت پله‌ای) و سوندazer الکتریکی (۲۹ سوندazer) پرداختند. نتایج آزمون t-test در آن مطالعه نشان داد که ضریب قابلیت انتقال در دو روش ژئوالکترونیک و افت پله‌ای، تفاوت معنی‌داری نداشته است. همچنین بین مقاومت عرضی اصلاح شده و ضریب قابلیت انتقال (T) لایه‌های آبدار یک رابطه همسنگی به دست آمد که حاکی از صحت آزمایش‌ها در محدوده مطالعاتی مذکور و همچنین مؤید مطالعات قبلی سینگال و نواس می‌باشد. قابلیت انتقال، فاکتور سازند و آبده ویژه با استفاده از روابط تجربی و نیمه تجربی تخمین زده شدند (Schimschal, 1981; Urich, 1981; Huntley, 1986; Frohlich & Kelly, 1988; Chen et al., 2001; George et al., 2015). روش ژئوفیزیکی توانسته است با صرفه‌جویی در هزینه‌ها، زمان و قابلیت استفاده در لیتلولوژی‌های متنوع کمک قابل توجهی در تخمین پارامترهای هیدرودینامیکی آبخوان در کنار روش آزمون پمپاژ داشته باشد و به عنوان روشی مکمل مورد استفاده قرار گیرد.

بنابراین هدف این مطالعه استفاده از رویکرد یکپارچه روش ژئوفیزیکی و آزمایشات پمپاژ، به عنوان یک روش مکمل مقرن به صرفه و کارآمد برای تخمین پارامترهای هیدرولیکی آبخوان آبرفتی شمال شرق گچساران است. از آنجایی که در ایران، هزینه بالای حفاری گمانه‌ها، تنها منجر به حفاری چند چاه آزمایشی پمپاژ در یک دشت شده و گاهی اوقات فقط یک چاه مشاهده‌ای در هر آزمون پمپاژ حفر می‌شود؛ بنابراین، این موضوع منجر به کسب اطلاعات محدودی در زمینه توزیع پارامترهای هیدرولیکی در هر سیستم آبخوان شده است. علاوه بر این، آزمایش پمپاژ انجام شده با استفاده از یک چاه پمپاژ و یک چاه مشاهده‌ای، ناهمسانی و توزیع مکانی پارامترهای هیدرولیکی چاه پمپاژ را در نظر نمی‌گیرد. بنابراین، در این تحقیق با



شکل ۱- موقعیت نقاط آزمون پمپاز (چاه‌های اکتشافی)، محل سوندازهای الکتریکی قائم (VES) و پیزومترها در منطقه مورد مطالعه بر روی نقشه زمین‌شناسی

Figure 1- The location of pumping test points (exploration wells), vertical electrical sounding, and piezometers in the study area on a geological map

پس از به دست آوردن منحنی افت-زمان در آزمون پمپاز و منحنی شاخص معادله تایس، می‌توان با قرار دادن دو منحنی بر روی یکدیگر و استخراج مختصات نقطه تطابق، با استفاده از معادله (۱) مقدار S و T را به دست آورد. مدل تحلیلی دیگری که در واقع حالت ساده شده‌ای از مدل تحلیلی تیس با شرط $u \leq 0.01$ است، به شکل معادله (۲) می‌باشد (Jacob, 1944).

$$S = \frac{2.3Q}{4\pi T} \log \frac{2.25Tt}{r^2 S} \quad (4)$$

که در این رابطه نیز، t زمان از شروع پمپاز (ثانیه)، r فاصله چاه مشاهده‌ای از مرکز چاه پمپاز (متر)، s افت سطح آب در چاه مشاهده‌ای (متر)، Q دبی پمپاز (متر مکعب بر ثانیه)، S ضریب ذخیره و T ضریب قابلیت انتقال آبخوان می‌باشد.

مدل‌ها و روش‌های تحلیلی آزمون پمپاز در آبخوان محبوس با مشابه قرار دادن معادله جریان آبهای زیرزمینی و جریان گرما، جریان شعاعی آبهای زیرزمینی طبق معادله (۱) در مختصات قطبی به شکل معادله‌های (۲) و (۳) حل می‌شود (Theis, 1932).

$$\frac{\delta^2 h}{\delta r^2} + \frac{1}{r} \frac{\delta h}{\delta r} = \frac{S}{T} \frac{\delta h}{\delta t} \quad (1)$$

$$S = \frac{Q}{4\pi T} \int_u^{\infty} \frac{e^{-u}}{u} du = \frac{Q}{4\pi T} W(u) \quad (2)$$

$$u = \frac{r^2 S}{4\pi T t} \quad (3)$$

در این معادلات، t زمان از شروع پمپاز (ثانیه)، r فاصله چاه مشاهده‌ای از مرکز چاه پمپاز (متر)، s افت سطح آب در چاه مشاهده‌ای (متر)، Q دبی پمپاز (متر مکعب بر ثانیه)، u و (u) تابع چاه، S ضریب ذخیره و T ضریب قابلیت انتقال آبخوان است.

جهت جریان آب زیرزمینی، ضخامت لایه آبدار و محدوده سفره آبدار را می‌توان مستقیماً از تفسیر نتایج ژئوالکتریکی به دست آورد. از طرف دیگر با توجه به تشابه خصوصیات جریان آب زیرزمینی و جریان الکتریکی در محیط متخلخل (تشابه قانون دارسی و اهم) و ارتباط بین پارامترهای ژئوالکتریکی و هیدروژئولوژی، می‌توان سایر پارامترهای هیدروژئولوژیکی (مثل S_y) را نیز تخمین زد. با داشتن مقاومت الکتریکی کل در زون‌های اشباع (ρ_{sat}) و غیرا شباع (ρ_{unsat}) آبخوان و با استفاده از معادله (۱۰)، می‌توان آبدهی ویژه سفره آبدار (S_y) را به دست آورد.

$$S_y = \left(\frac{\rho_w}{\rho_{\text{sat}}} \right)^{\frac{1}{m}} \left[1 - \left(\frac{\rho_{\text{sat}}}{\rho_{\text{unsat}}} \right)^{\frac{1}{n}} \right] \quad (10)$$

که در این روابط کلیه مقاومت‌ها بر حسب اهمتر (Ωm) و پارامترهای m و n مربوط به درجه سیمانی شدن دانه‌های تشکیل دهنده سفره آبدار هستند، مقدار m برای هر نمونه متفاوت است و در بیشتر رسوبات آبرفتی سخت نشده متخلخل، از قانون اولیه آرچی پیروی می‌کند (Archie, 1942).

مقاومت الکتریکی آب موجود در فضاهای خالی (ρ_w) را می‌توان با اندازه‌گیری مقدار هدايت الکتریکی (EC) برحسب میکرومیس بر سانتی‌متر ($\mu\text{mhos/cm}$) در چاههای آب مجاور نقاط سوندازهای ژئوالکتریک و با استفاده از رابطه (۱۱) محاسبه کرد.

$$\rho_w = \frac{10^4}{EC} \quad (11)$$

میزان تخلخل لایه آبدار را می‌توان با ارزیابی فاکتور سازند (F) تخمین زد برای اولین بار آرچی در سال ۱۹۴۲ فاکتور سازند را با استفاده از رابطه (۱۲) برای محیط‌های اشباع از آب شور و نسبتاً تمیز (مانند سنگ‌های کوارتزی و کربنات‌های فاقد رس) محاسبه کرد و سپس با استفاده از رابطه (۱۳) میزان تخلخل (\emptyset) را تخمین زد.

$$F = \frac{\rho_{\text{sat}}}{\rho_w} \quad (12)$$

$F = a \emptyset$ \emptyset در سفره‌های آبدار فاقد رس، فاکتور سازند تنها به تخلخل و پیچاپی خلل و فرج محیط بستگی دارد که حاکی از میزان تخلخل آن است (Nakhaei & Lashkaripour, 2004).

نتایج و بحث

داده‌های آزمایش پمپاژ و سوندازهای ژئوالکتریکی در محدوده مطالعاتی به وسیله نرم‌افزارهای IPI2win، aquifer test و روابط مربوط به هر دو روش تفسیر و تحلیل گردید و درنهایت ضرایب هیدرودینامیک هر دو روش استخراج و با هم‌دیگر مقایسه شدند.

مدل‌ها و روش‌های تحلیلی آزمون پمپاژ در آبخوان آزاد نیومن^۱ و قوع پدیده زهکشی تأثیری را وابسته به مؤلفه قائم جریان در آبخوان آزاد معرفی نمود و با فرض وقوع زهکشی آنی در آبخوان آزاد، پاسخ آبخوان به پمپاژ را تابعی از نسبت ناهمسوی هدايت هیدرولیکی عمودی به افقی (Kz/Kr ، فاصله چاه مشاهده‌ای از مرکز چاه پمپاژ (r) و ضخامت اشباع آبخوان (b) معرفی کرد (Neuman, 1972). از آنجایی که روش تحلیلی نیومن در قیاس با سایر مدل‌های تحلیلی ارائه شده، پرکاربردتر است، در نتیجه در این پژوهش مبنای ارزیابی قرار گرفته و از معادلات تحلیلی مدل مذکور استفاده شده است. نیومن معتقد بود که معادله (۲) باید به صورت زیر نوشته شود:

$$S = \frac{Q}{4\pi T} W(u_a, u_y, \eta) \quad (5)$$

$$u_a = \frac{r^2 S}{4Tt} \quad (6)$$

$$u_y = \frac{r^2 S_y}{4Tt} \quad (7)$$

$$\eta = \frac{r^2 k_z}{b^2 k_r} \quad (8)$$

$$T = K_r b \quad (9)$$

در این روابط، Kr برابر با ضریب هدايت هیدرولیکی افقی، b ضریب هدايت هیدرولیکی قائم، S ضریب ذخیره، S_y آبدهی ویژه، a ضخامت ناحیه اشباع سفره، r فاصله افقی چاهک مشاهده‌ای از مرکز چاه پمپاژ و t مدت زمان طی شده از شروع پمپاژ است. پارامتر ua متناظر با زمان‌های اولیه پمپاژ و پارامتر uy متناظر با زمان‌های بلندمدت پمپاژ است و مقادیر عددی تابع (η) برحسب مقادیر مختلف ua و uy در قالب منحنی‌های نمونه نیومن ارائه شده است (شکل ۲).

از روش انطباق بر منحنی‌های شاخص یا نمونه به صورت دو مرحله‌ای، بهمنظور تخمین مشخصه‌های اصلی هیدرودینامیک آبخوان آزاد S , T , K , (Sy) (بر اساس معادلات ارائه شده نیومن) استفاده شده است؛ بدین صورت که اطلاعات یا داده‌های زمان‌های ابتدایی آزمون پمپاژ بر قسمت اول منحنی‌های شاخص و داده‌های زمان‌های بلندمدت پمپاژ بر قسمت انتهایی منحنی‌های شاخص نیومن انطباق می‌یابند و سپس با انتخاب نقطه تطابق، مشخصه‌های هیدرودینامیک آبخوان شامل Kr , S , Kz و Sy تخمین زده می‌شوند.

تئوری تحلیل داده‌های ژئوالکتریک در آبخوان آزاد ارزیابی پارامترهای هیدرودینامیک یک آبخوان با استفاده از روش‌های ژئوالکتریک، بهدلیل سهولت اجرا و کم‌هزینه بودن، کمک شایانی به مطالعات هیدروژئولوژیکی می‌کند. پارامترهایی مانند عمق،

۰/۰۲۱ می باشد. طبق روابط کوپر-ژاکوب هرگاه مقادیر ضریب ذخیره بیشتر از ۰/۰۰۱ باشد آبخوان از نوع آزاد است که در مطالعه حاضر مقادیر ضریب ذخیره برای هر دو چاه پمپاژ نشان دهنده این است که آبخوان از نوع آزاد می باشد.

از آنجایی که آبخوان آبرفتی محدوده مطالعاتی از نوع آزاد می باشد، نقش پدیده زهکشی تأخیری و مؤلفه قائم جریان نیز باید در نظر گرفته شود و بنابراین، بر اساس مدل تحلیلی نیومن و با کمک روابط ۵ تا ۹ بهوسیله نرم افزار Aquifer test آبخوان مورد بررسی قرار گرفته است (شکل ۴).

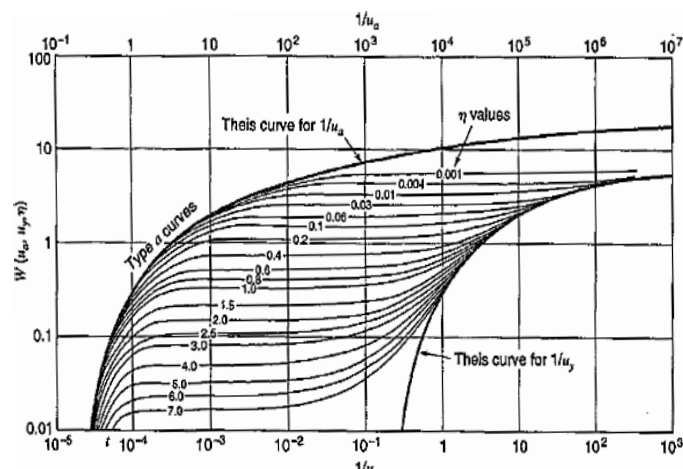
از مقایسه دو روش کوپر-ژاکوب و نیومن برای آبخوان آزاد شمال شرق گچساران می توان به این نتیجه رسید که روش نیومن که مختص آبخوان های آزاد است بهتر و مؤثرتر است. پس از ترسیم نمودار لگاریتمی افت-زمان نیومن، از قسمت اول منحنی مقادیر آبدی و بیژه (Sy) برای چاه پمپاژ شماره یک و دو به ترتیب ۰/۰۵ و ۰/۰۴ به دست آمد است که مربوط به آبدی تأخیری می باشد. از قسمت دوم منحنی مقادیر ضریب ذخیره برای چاه پمپاژ شماره یک و دو به ترتیب ۰/۰۱۵ و ۰/۰۲۱ به دست می آید. در جدول ۳ مقادیر محاسباتی ضرایب هیدرودینامیک به روش نیومن در چاه های پمپاژ آبخوان آورده شده است.

تحلیل آزمون پمپاژ در آبخوان محدوده مطالعاتی و استخراج ضرایب هیدرودینامیک

در محدوده مطالعاتی داده های آزمایش پمپاژ دو چاه اکتشافی موجود است (جدول ۱) که با استفاده از اطلاعات این دو چاه پمپاژ، تجزیه و تحلیل داده ها بهوسیله روش کوپر-ژاکوب که مخصوص آبخوان های محبوس است انجام شده است و درنهایت بهوسیله روش نیومن که مختص آبخوان های آزاد می باشد ضرایب هیدرودینامیک محاسبه شده است.

در روش کوپر-ژاکوب داده های زمان-افت در محور نیمه لگاریتمی ترسیم و خطی که بر روی نقاط بهترین انطباق را داشته باشد تا جایی که محور افقی زمان را قطع کند ادامه می یابد، در این نقطه که مقدار افت صفر در نظر گرفته می شود می توان زمان شروع افت (t₀) را به دست آورد و در ادامه با استفاده از رابطه ۴ و نرم افزار aquifer test مقادیر ضریب ذخیره (S) و ضریب قابلیت انتقال (T) را محاسبه کرد (شکل ۳).

در جدول ۲ مقادیر محاسباتی ضرایب هیدرودینامیک به روش ژاکوب آورده شده است. همان طور که ملاحظه می گردد مقادیر هدایت هیدرولیکی برای چاه پمپاژ شماره یک و دو به ترتیب ۴/۹ و ۵/۷ و مقادیر ضریب ذخیره نیز به ترتیب برای چاه شماره یک و دو ۰/۱۵ و



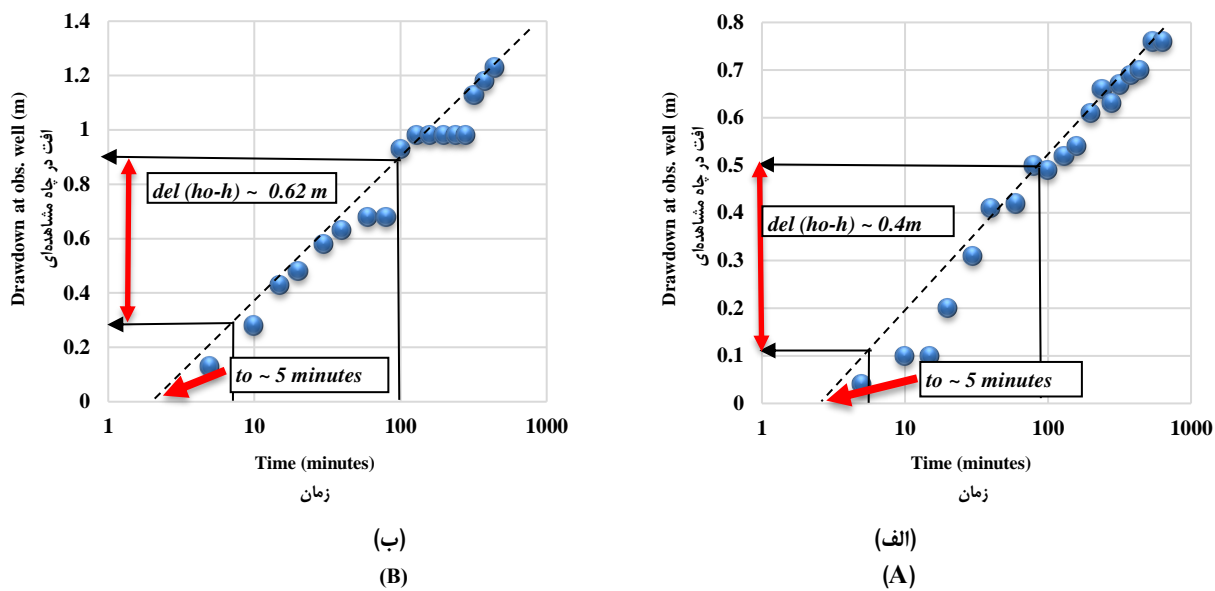
شکل ۲- منحنی نظری تابع چاه $W(u_a, u_y, \eta)$ در برابر $1/u_a$ و $1/u_y$ برای آبخوان آزاد (Neuman, 1972)

Figure 2- Family of Neuman type curves: $W(u_a, u_y, \eta)$ versus $1/u_a$ and $1/u_y$ for unconfined aquifer

جدول ۱- داده های چاه های پمپاژ در آبخوان آبرفتی شمال شرق گچساران

Table 1- The data of pumping wells in the alluvial aquifer at the north-east of Gachsaran City

ردیف	شماره چاه	طول جغرافیایی	عرض جغرافیایی	عمق چاه	خصایمت اشباع آبخوان	دبی پمپاژ	فاصله چاه مشاهده ای از چاه پمپاژ	حداکثر افت
Well No.	[X (UTM)]	[Y (UTM)]		Well depth (m)	Aquifer saturated thickness [b (m)]	Discharge flow rate [Q (m³/d)]	Distance of the observation well from the pumping well [r (m)]	Max of drawdown (m)
1	490198	3356156		200	66	2678.4	20	1.23
2	496428	3353645		200	115	2376	20	0.76



شکل ۳- موقعیت داده‌های افت- زمان بر روی نمودار نیمه لگاریتمی ژاکوب و به دست آوردن t_0 و s برای چاه پمپاژ ۱(الف) و چاه پمپاژ ۲(ب)
Figure 3- The location of pumping test data on the Jacob time-drawdown semi-log plot and the determination of t_0 and s for pumping well 1 (a) and pumping well 2 (b)

جدول ۲- مقادیر محاسباتی ضرایب هیدرودینامیک به روش ژاکوب در چاههای پمپاژ آبخوان آبرفتی شمال شرق گچساران

Table 2- Computational values of hydrodynamic coefficients by Jacob's method in pumping wells of alluvial aquifer at the north-east of Gachsaran city

شماره چاه Well No.	طول جغرافیایی Longitude [X (UTM)]	عرض جغرافیایی Latitude [Y (UTM)]	دبی پمپاژ Discharge flow rate [Q (m³/d)]	افت Time intercept for zero drawdown [t₀(min)]	زمان شروع از مشاهده‌ای از چاه پمپاژ Distance of the observation well from the pumping well [r (m)]	فاصله چاه		هدایت هیدرولیکی Hydraulic conductivity K(m/day)	ضریب ذخیره Storage Coefficient S
						قابلیت انتقال Transmissivit y T(m²/day)	هدایت هیدرولیکی Hydraulic conductivity K(m/day)		
1	490198	3356156	1.86	5	20	323	4.9	0.015	
2	496428	3353645	1.65	5	20	655.5	5.7	0.021	

ذرات نسبت به هم، درجه سیمانی شدن و تراکم رسوبات بستگی دارد. از آنجایی که نهشتته‌های رسوبی در آبخوان آبرفتی محدوده مورده مطالعه، از نوع رسوبات سخت نشده با حورشدگی نسبتاً ضعیف هستند؛ در نتیجه، در تحقیق حاضر مقادیر m و n به ترتیب برابر $1/5$ و 2 فرض شده است (Rostami & Hassani-Giv, 2011). با در دست داشتن مقادیر m و n و استفاده از روابط 12 و 13 ، می‌توان فاکتور سازند (F) و مقادیر تخلخل را محاسبه و برای نقاط مختلف آبخوان درون‌یابی کرد (جدول ۴). کمینه و بیشینه مقدار تخلخل در آبخوان مورد مطالعه به ترتیب حدود $1/5$ در ناحیه شرقی و جنوب شرقی آن (محل خروجی دشت) و حدود $4/0$ در بخش میانی، شمالی و میانی،

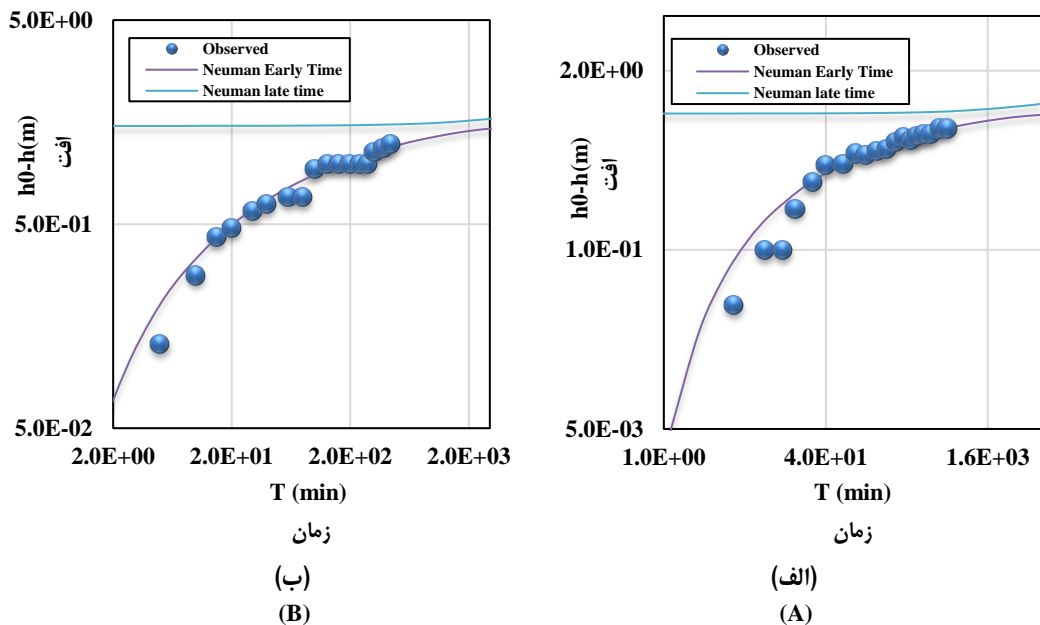
تحلیل داده‌های ژئوکتریک آبخوان و استخراج ضرایب هیدرودینامیکی

از نرم‌افزار IPI2win (Bobachev, 2002) و روش یکسان‌سازی منحنی جزئی معمولی برای تحلیل و تفسیر اولیه اطلاعات سوندazer کتریکی قائم (VES) استفاده شد؛ به طوری که مقاومت و ضخامت تخمینی لایه بدست آمد. بنابراین، کمی کردن نتایج سوندazer عمقی ژئوکتریکی با استفاده از مقاومت لایه مربوطه و ویژگی‌های آب منفذی امکان‌پذیر بود.

کمیت تخلخل (ϕ) در مطالعات هیدرولوژی اهمیت بسیاری دارد و میزان آن در مواد رسوبی به شکل، اندازه و وضعیت قرارگیری

می‌شود (شکل ۵).

شمال غرب منطقه (در مجاورت با سازند آسماری) می‌باشد. مقدار متوجه تخلخل در این آبخوان، به طور تقریبی ۲۶ درصد تخمین زده



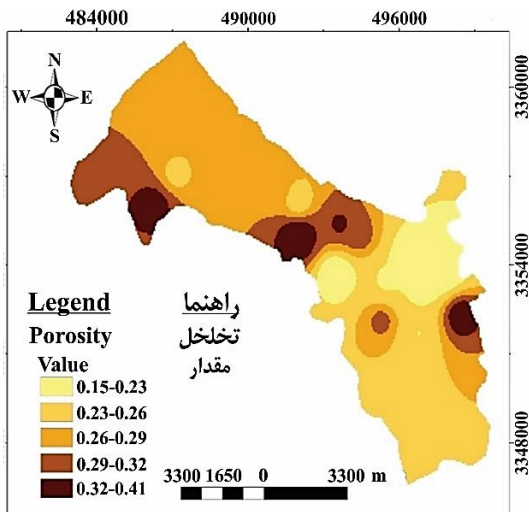
شکل ۴- موقعیت نقاط زمان-افت در نمودار لگاریتمی نیومن، برای چاههای پمپاژ ۱ (الف) و ۲ (ب)

Figure 4- the location of pumping test data on the Neuman time-drawdown log-log plot for pumping well 1 (a) and pumping well 2 (b)

جدول ۳- مقادیر محاسباتی خرایب هیدرودینامیک به روش نیومن در چاههای پمپاژ آبخوان آبرفتی شمال شرق گچساران

Table 3- Computational values of hydrodynamic coefficients by Neuman's method in pumping wells of the northeastern Gachsaran City alluvial aquifer

شماره چاه Well No.	طول جغرافیایی Longitude [X (UTM)]	عرض جغرافیایی Latitude [Y (UTM)]	دبی پمپاژ Discharge flow rate [Q (m³/d)]	η	r (m)	b (m)	T (m²/day)	K (m/day)	S	Sy
1	490198	3356156	1.86	5	20	66	323	4.9	0.01 5	0.05
2	496428	3353645	1.65	5	20	115	655.5	5.7	0.02 1	0.04



شکل ۵- نقشه میزان تخلخل آبخوان شمال شرق شهر گچساران

Figure 5- Porosity map of the northeastern Gachsaran City alluvial aquifer

گردید (Ahmadi, 2008). رابطه تحریبی بین هدایت هیدرولیکی (K) و فاکتور سازند (F) با استفاده از روش رگرسیون چندجمله‌ای با ضریب همبستگی برابر $85/80$ به دست آمد (شکل ۷).

$$Y = -0.1x^2 + 2.05x - 4.5 \quad (14)$$

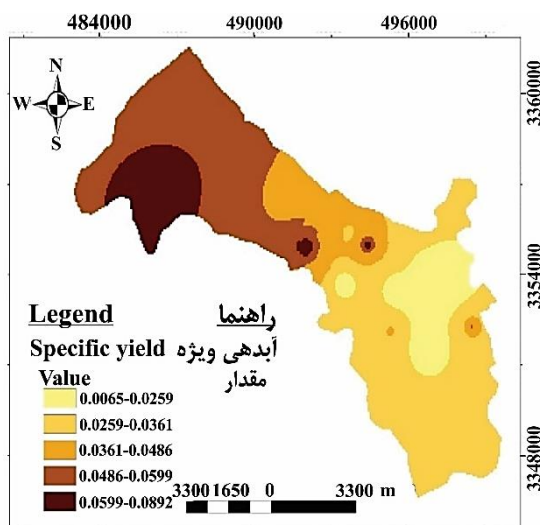
به منظور تخمین مقدار ضریب قابلیت انتقال، از هدایت هیدرولیکی (K) به دست آمده از معادله ۱۴ در موقعیت چاهها (شکل ۸)، ضخامت آبخوان (b) به دست آمده از مطالعات ژئوالکتریک و همچنین عمق چاه‌های اکتشافی که تا سنگ کف آبخوان حفاری شده‌اند استفاده می‌شود (شکل ۹). بنابراین بر اساس معادله ۱۵ مقدار ضریب قابلیت انتقال در موقعیت چاهها به دست می‌آید و برای کل آبخوان درون‌یابی می‌گردد (شکل ۱۰).

$$T = Kb = (K = -0.1x^2 + 2.05x - 4.5) \times b \quad (15)$$

در معادله بالا، K هدایت هیدرولیکی افقی، T ضریب قابلیت انتقال آبخوان و b ضخامت اشباع آبخوان می‌باشد.

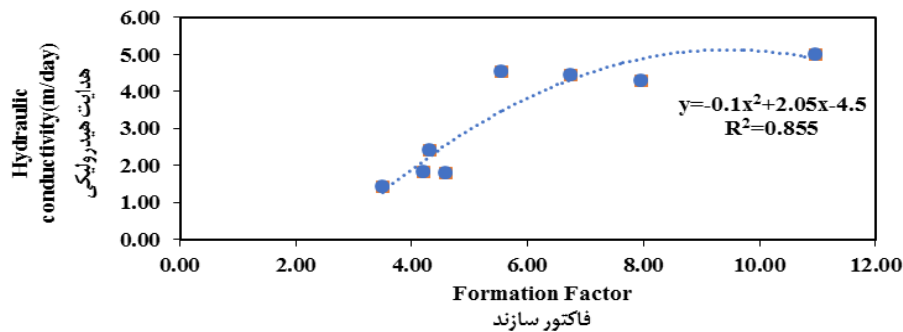
برای تخمین مقدار آبدهی ویژه (sy)، داده‌های ژئوالکتریک حاصل از ۸۶ سوندایر قائم ژئوالکتریکی (آرایه شلومبرژ) بر اساس ۴ فاصله الکترودهای جریان ۱۰۰، ۲۰۰، ۶۰۰ و ۱۰۰۰ متری) با استفاده از نرم‌افزار IPI2win تحلیل و سپس با توجه به عمق سطح ایستابی سفره آبدار، مقاومت در دو زون اشباع (psat) و غیراشباع (punsat) آبخوان به دست آمد. در ادامه مقادیر مقاومت الکتریکی کل در زون‌های اشباع و غیراشباع آبخوان برای محل چاه‌هایی که مقدار هدایت الکتریکی آبدار آن‌ها در دسترس است استخراج و با استخراج از رابطه (۱۰)، آبدهی ویژه به دست آمد (جدول ۴). حداقل و حداکثر آبدهی ویژه به ترتیب $6/00$ (در نواحی شرق و جنوب‌شرقی) و $9/00$ (در نواحی غرب و شمال‌غربی دشت) و متوسط آن حدود $4/00$ تخمین زده شد (شکل ۶).

برای به دست آوردن ضریب قابلیت انتقال در محل چاهها نمودار هدایت هیدرولیکی به دست آمده از دو روش اجرای مدل و آزمون پمپاژ اصلاحی در مقابل فاکتور سازند که از معادله ۱۶ استخراج شده ترسیم



شکل ۶- نقشه آبدھی ویژه آبخوان شمال شرق شهر گچساران

Figure 6- Specific yield map of the northeastern Gachsaran City alluvial aquifer

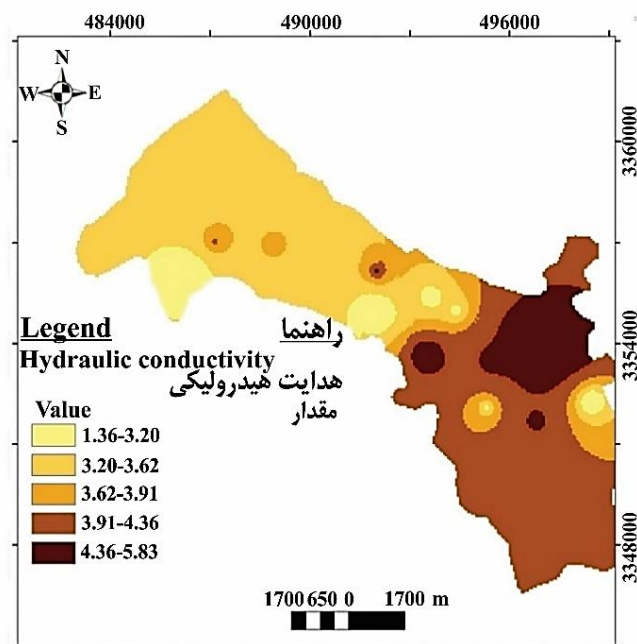


شکل ۷- نمودار هدایت هیدرولیکی در مقابل فاکتور سازند

Figure 7- Plot of hydraulic conductivity versus formation factor

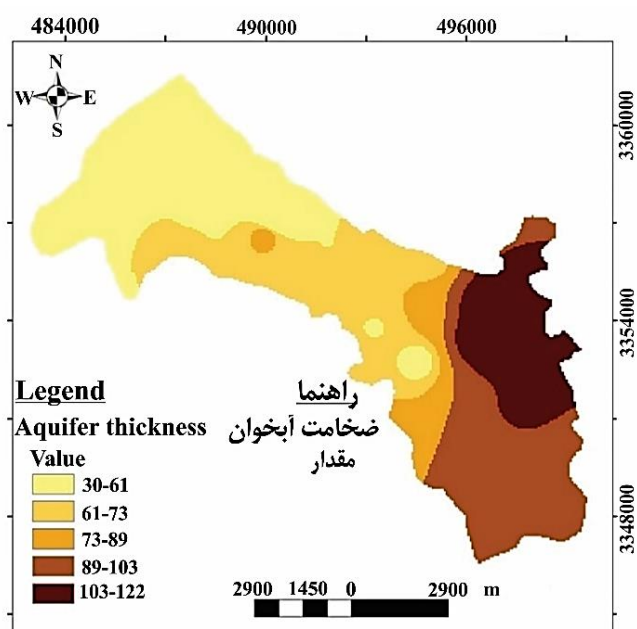
شده است. لازم به ذکر است که نقشه‌های هم قابلیت انتقال داشت به طور معمول ثابت نیستند و با گذشت زمان و تغییر تراز سطح ایستابی (تغییر ضخامت آبخوان) تغییر می‌نمایند؛ بنابراین، در صورت تغییرات فاحش سطح ایستابی باید به روزرسانی گردد.

همان‌طور که در [شکل ۱۰](#) مشاهده می‌گردد حدائق و حداکثر ضریب قابلیت انتقال به ترتیب ۶۳ متر مربع بر روز (در نواحی غرب و شمال‌غربی دشت) و ۶۰.۸/۹ متر مربع بر روز (در نواحی شرق و جنوب شرقی) و متوسط آن حدود ۳۲۳/۷ متر مربع بر روز تخمین زده



شکل ۸- نقشه هدايت هيدروليكي (K، متر بر روز) آبخوان شمال شرق شهر گچساران

Figure 8- Hydraulic conductivity (m/day) map of the alluvial aquifer at the north-east of Gachsaran City

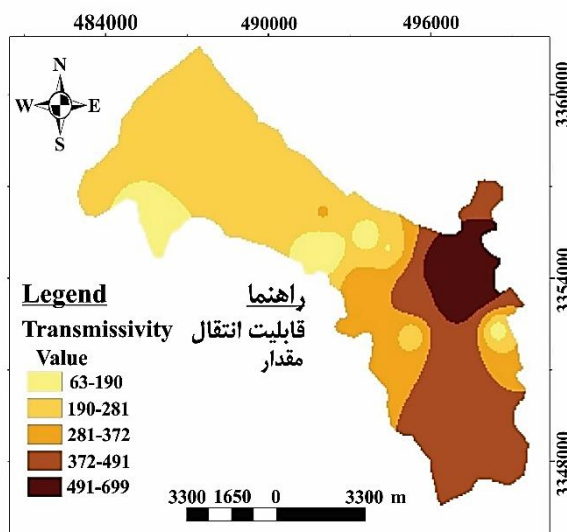


شکل ۹- نقشه ضخامت اشباع ((متر) b) آبخوان شمال شرق شهر گچساران

Figure 9- Saturated thickness (b(m)) map of the alluvial aquifer at the north-east of Gachsaran City

ضریب قابلیت آبخوان (T) و هدايت هیدروليکی (K) که از روش آزمون پمپاژ آزمایش پمپاژ استخراج گردیده است به مقادیر عددی روش ژئوکتریک بسیار نزدیک میباشد و نتایج نشان میدهد که روش ژئوکتریک قادر به تخمین قابل قبولی از پارامترهای هیدرودینامیکی آبخوان (ضریب هیدرودینامیک) میباشد.

مقایسه نتایج به دست آمده از طریق روش ژئوکتریک و در جدول ۵ ضرایب هیدرودینامیک به دست آمده از هر دو روش آزمایش پمپاژ و روش ژئوکتریک با یکدیگر مقایسه شده اند. همان طور که ملاحظه میگردد مقادیر عددی آبدی ویژه (Sy)،



شکل ۱۰- نقشه ضریب قابلیت انتقال (بر حسب متر مربع بر روز) آبخوان شمال شرق شهر گچساران

Figure 10- Transmissivity coefficient (m^2/day) map of the alluvial aquifer at the north-east of Gachsaran City

جدول ۴- آبدهی ویژه، فاکتور سازند، تخلخل، هدایت هیدرولیکی و ضریب قابلیت انتقال داشت به روش ژئوالکتریک

Table 4- the values of specific yield, formation factor, porosity, hydraulic conductivity, and transmissivity in the aquifer obtained by the geoelectric method

شماره چاه Well No.	طول جغرافیایی Longitude [X (UTM)]		عرض جغرافیایی Latitude [Y (UTM)]		هدایت الکتریکی Electrical conductivity Ec_w ($\mu mhos/cm$)		ρ_{sat}	ρ_{unsat}	ρ_w	F	Sy	Φ	K (m/day)	T (m^2/day)
	شماره چاه Well No.	طول جغرافیایی Longitude [X (UTM)]	عرض جغرافیایی Latitude [Y (UTM)]	هدایت الکتریکی Electrical conductivity Ec_w ($\mu mhos/cm$)										
W1	487140	3357030	857	68.9	140.4	11.67	5.9	0.076	0.05	1.8	115.75			
W2	486290	3356030	1130	33.9	61.3	8.85	3.8	0.091	0.02	4.11	265.35			
W3	488910	3356910	420	132.1	200	23.81	5.54	0.05	0.02	3.8	228.44			
W4	491200	3356500	428	121.9	160.9	23.36	5.21	0.036	0.03	3.5	211.11			
W5	492000	3356160	572	116.3	180.4	17.48	6.65	0.045	0.01	4.7	289.62			
W6	493650	3355370	406	100	118.7	24.63	4.06	0.027	0.04	1	62.63			
W7	493501	3353713	1220	90	93	8.2	10.98	0.002	0.03	5.6	358.28			
W8	494400	3354980	438	100	180	22.83	4.38	0.081	0.03	2.2	144.98			
W9	498460	3352280	795	43.9	59.6	12.58	3.49	0.054	0.06	2.5	188.52			
W10	496550	3354320	631	150	194.6	15.85	9.46	0.021	0.04	2.8	222.5			
W11	495472	3353505	906	77.7	83.6	11.04	7.03	0.008	0.04	4.9	470.32			
W12	496801	3351690	1606	42	44	6.23	6.74	0.005	0.02	5.9	699.07			
W13	497010	3353350	837	95	100	11.95	7.95	0.005	0.01	4.7	490.06			
W14	497810	3353870	1120	100.3	110.4	8.93	11.23	0.007	0.04	5.4	620.6			
W15	492006	3354906	508	61.9	100	19.69	3.14	0.088	0.02	5.9	661.25			
W16	495300	3352100	1047	43.9	59.6	9.55	4.59	0.043	0.02	1.4	152.21			

جدول ۵- مقایسه نتایج به دست آمده از طریق روش آزمون پمپاژ و ژئوالکتریک

Table 5- A Comparison between the results obtained through pumping test and geoelectric methods

شماره چاه Well No.	K(m/d)		T(m^2/d)		Sy	
	PT*	VES*	PT	VES	PT	VES
1	4.9	3.6	323	237	0.05	0.05
2	5.7	5.5	655.5	632.5	0.04	0.03

*PT: Pumping Test, VES: Vertical Electrical Sounding

نتیجه‌گیری

مقدار آبدهی ویژه در روش آزمون پمپاژ چاه شماره یک مقدار بیشتری است که باز هم روش ژئوالکتریک آن را تأیید می‌کند. چنین رویکرد های ترکیبی شامل تجزیه و تحلیل همزمان روش های ژئوفیزیکی (مانند VES) و آزمایش پمپاژ جایگزین عالی برای آزمایش های متعدد و پرهزینه پمپاژ برای ارزیابی ضراایب هیدرودینامیکی یک آبخوان خواهد بود. علاوه بر این، به کارگیری این تکنیک ترکیبی امکان تولید ضرایب هیدرودینامیکی متراکم را در یک آبخوان برای استفاده به عنوان ورودی در مدل های آب زیرزمینی فراهم می‌کند.

در نهایت باید اشاره گردد که اگرچه رویکردهای ژئوفیزیکی به عنوان روش هایی غیرمخرب (عدم نیاز به حفاری)، سریع، سازگار با محیط‌زیست، و با هزینه‌های کمتر از آزمایش پمپاژ برای بدست آوردن حجم زیادی از اطلاعات زیرسطحی، در چند دهه اخیر مورد اقبال هیدرولوژیست‌ها برای تخمين پارامترهای هیدرولیکی آبخوان قرار گرفته‌اند، با این حال نتایج بدست آمده از آنها نیز دارای عدم قطعیت هایی می‌باشند. از مهمترین منابع عدم قطعیت می‌توان به خطای روش های حل وارون در مدل های ژئوفیزیکی، سطح صحت داده های میدانی، عدم قطعیت های زمین‌شناسی بهدلیل برداشت غیرمستقیم اطلاعات که در برخی مناطق نیاز به حفر گمانه وجود دارد، مفروضات مورد استفاده در روابط پتروفیزیکی که متغیر های اندازه‌گیری شده را به پارامترهای ژئوالکتروهویدرولیکی مرتبط می‌کنند (نظریه برآورد فاکتور سازند) اشاره نمود. لازم به ذکر است که بهبود در روش های استخراج اطلاعات از داده های ژئوفیزیکی، استفاده از روش های مکمل (نظریه IP و ...) و توسعه الگوریتم های حل وارون، اگرچه منجر به کاهش شدید عدم قطعیت های معمول مرتبط با تبدیل عادی اطلاعات ژئوفیزیک به خواص هیدرولوژیکی و سایر استنتاج های مرتبط شده است، اما عدم قطعیت های مرتبط با فاکتور سازند (استخراج شده برای محیط های کاملاً اشباع و فاقد رس) همچنان به قوت خود باقی است.

یکی از قابل اعتمادترین روش ها برای اندازه‌گیری ضراایب هیدرودینامیک آبخوان، آزمایش پمپاژ است. مزیت این روش دقت بالای آن و عیب این روش هزینه بالای آن است؛ با این حال روش های ژئوفیزیکی تکنیکی مؤثر برای ارزیابی و کاهش تعداد آزمایش های پمپاژ می‌باشد. ژئوفیزیک توأم استه ا است با صرفه جویی در هزینه ها و زمان و قابلیت استفاده در لیتولوژی های متعدد کمک قابل توجهی در تخمین پارامترهای هیدرودینامیکی آبخوان داشته باشد. در این تحقیق ابتدا ضرایب هیدرودینامیک سفره آبدار با دو روش تحلیلی آزمایش پمپاژ، عبارتند از کوپر- ژاکوب و نیومن، محاسبه شد و پس از ارزیابی و مقایسه نتایج، روش نیومن، بهدلیل اینکه مختص آبخوان های آزاد است و علاوه بر ضریب ذخیره، مقادیر آبدهی ویژه (Sy) را نیز به ما می‌دهد بهتر و مناسبتر تشخیص داده شد. مقادیر آبدهی ویژه (Sy) به روش نیومن برای چاه پمپاژ شماره یک و دو به ترتیب ۰/۰۳ و ۰/۰۵ و مقادیر ضریب ذخیره نیز برای چاه پمپاژ شماره یک و دو به ترتیب ۰/۰۱۵ و ۰/۰۲۱ به دست می‌آید. در گام بعد، پس از تحلیل داده های ژئوالکتریک آبخوان با نرم افزار IPI2win و استخراج ضراایب هیدرودینامیک سفره آبدار با روابط آرجی، حداقل و حداقل آبدهی ویژه (Sy) به ترتیب ۰/۰۰۶ (در نواحی شرق و جنوب شرقی) و ۰/۰۸۹ (در نواحی غرب و شمال غربی دشت) و متوسط آن حدود ۰/۰۴ (در زده شد. حداقل و حداقل ضریب قابلیت انتقال نیز به ترتیب ۶۳ (در نواحی غرب و شمال غربی دشت) و ۶۰/۸/۹ (در نواحی شرق و جنوب شرقی) و متوسط آن حدود ۳۲۳/۷ متر مربع بر روز به دست آمد. ارزیابی و مقایسه نتایج هر دو روش حاکی از این است که ضرایب حاصل از روش ژئوالکتریک توسط آزمون پمپاژ تایید می‌شود. به عبارت دیگر، از نتایج به دست آمده از آزمون پمپاژ چاه های شماره یک و دو به روش نیومن در آبخوان آزاد معلوم گردید که ضریب قابلیت انتقال برای چاه شماره دو که در قسمت شرقی آبخوان قرار دارد مقدار بیشتری است که با نتایج روش ژئوالکتریک همخوانی دارد و همچنین

References

1. Abdulrazzaq, Z.T., Al-Ansari, N., Ahmed Aziz, N., Agbasi, O.E., & Etuk, S.E. (2020). Estimation of main aquifer parameters using geoelectric measurements to select the suitable wells locations in Bahr Al-Najaf depression, Iraq. *Groundwater for Sustainable Development*, 11, 100437. <https://doi.org/10.1016/j.gsd.2020.100437>
2. Ahmadi, S. (2008). *Investigating and forecasting the fluctuations of the Imamzadeh Jafar plain aquifer in Gachsaran city with a perspective on the effects of artificial recharge and using the MODFLOW model*. Master Thesis in Hydrogeology, Science Faculty, Islamic Azad University Science and Research Branch, Tehran. Iran. (In Persian with English abstract)
3. Archie, GE. (1942). The electrical resistivity log as an aid in determining some reservoir characteristics. *Transactions of the AIME*, 146(01), 54-62. <https://doi.org/10.2118/942054-G>
4. Arétouyap, Z., Bisso D., Méli'I, J.L., Nouck, F.N., Njoya, A., & Asfahani, J. (2019). Hydraulic parameters evaluation of the Pan-African aquifer by applying an alternative geoelectrical approach based on vertical electrical soundings. *Geofísica Internacional*, 58(2), 113-126. <https://doi.org/10.22201/igeof.00167169p.2018.58.2.1964>
5. Bobachev, C. (2002). *IPI2Win: A windows software for an automatic interpretation of resistivity sounding data*. PhD Thesis, Moscow State University, Russia.
6. Calvache, M.L., Sánchez-Úbeda, J.P., Duque, C., López-Chicano, M., & de la Torre, B. (2016). Evaluation of analytical methods to study aquifer properties with pumping tests in coastal aquifers with numerical modelling (Motril-Salobreña Aquifer). *Water Resources Management*, 30, 559–575. <https://doi.org/10.1007/s11269-015-1177-6>
7. Chen, J., Hubbard, S., & Rubin, Y. (2001). Estimating the hydraulic conductivity at the South Oyster Site from geophysical tomographic data using Bayesian techniques based on the normal linear regression model. *Water Resources Research*, 37(6), 1603-1613. <https://doi.org/10.1029/2000WR900392>
8. Crestani, E., Camporese, M., & Salandin, P. (2015). Assessment of hydraulic conductivity distributions through assimilation of travel time data from ERT-monitored tracer tests, *Advances in Water Resources*, 84, 23-36. <https://doi.org/10.1016/j.advwatres.2015.07.022>
9. Darvishzadeh, A. (2003). *Geology of Iran*. 5th Edition, 902P, Amirkabir Publication, Tehran. (In Persian)
10. de Almeida, A., Maciel, D.F., Sousa, K.F., Nascimento, C.T.C., & Koide, S. (2021). Vertical electrical sounding (VES) for estimation of hydraulic parameters in the Porous aquifer. *Water*, 13(2), 170(1-15). <https://doi.org/10.3390/w13020170>
11. Falowo, O.O., Daramola, A.S., & Ojo, O.O. (2019). Aquifers hydraulic parameters measurement and analysis by pumping test. *American Journal of Water Resources*, 7(4), 146-154. <https://doi.org/10.12691/ajwr-7-4-3>
12. Frohlich, R.K., & Kelly, W.E. (1988). Estimates of specific yield with the geoelectric resistivity method in glacial aquifers. *Journal of Hydrology*, 97(1-2), 33-44. [https://doi.org/10.1016/0022-1694\(88\)90064-9](https://doi.org/10.1016/0022-1694(88)90064-9)
13. George, N.J., Ibuot, J.C., & Obiora, D.N. (2015). Geoelectrohydraulic parameters of shallow sandy aquifer in Itu, Akwa Ibom State (Nigeria) using geoelectric and hydrogeological measurements. *Journal of African Earth Sciences*, 110, 52-63. <https://doi.org/10.1016/j.jafrearsci.2015.06.006>
14. Hasan, M., Shang, Y., Jin, W., & Akhter, G. (2019). Assessment of aquifer vulnerability using integrated geophysical approach in weathered terrains of South China. *Open Geosciences*, 11, 1129–1150. <https://doi.org/10.1515/geo-2019-0087>
15. Hasan, M., Shang, Y., Jin, W., & Akhter, G. (2021). Estimation of hydraulic parameters in a hard rock aquifer using integrated surface geoelectrical method and pumping test data in southeast Guangdong, China. *Geosciences Journal*, 25, 223–242. <https://doi.org/10.1007/s12303-020-0018-7>
16. Hatami Golmakani, P., Sheikh, V.B., & Hosseinalizadeh M. (2017). The effect of measurement methods on saturated hydraulic conductivity in eastern loess lands of Golestan province. *Journal of Soil Management and Sustainable Production*, 6(4), 87-102. (In Persian with English abstract). <https://doi.org/10.22069/ejsms.2017.10322.1614>
17. Huntley, D. (1986). Relations between permeability and electrical resistivity in granular aquifers. *Groundwater*, 24(4), 466-474. <https://doi.org/10.1111/j.1745-6584.1986.tb01025.x>
18. Ige, O., Obasaju, D., Baiyegunhi, C., Ogunsanwo, O., & Baiyegunhi, T. (2018). Evaluation of aquifer hydraulic characteristics using geoelectrical sounding, pumping and laboratory tests: A case study of Lokoja and Patti Formations, Southern Bida Basin, Nigeria. *Open Geosciences*, 10(1), 807-820. <https://doi.org/10.1515/geo-2018-0063>
19. Jacob, CE. (1944). *Notes on determining permeability by pumping tests under water-table conditions*. US Geological Survey open-file report. 1945, University of Illinois at Urbana-Champaign, USA. Partial penetration of pumping well, adjustments for: US Geol. Survey open-file report. 1947, Drawdown test to determine effective radius of artesian well: Am. Soc. Civil Eng. Trans. 1944;112:1047-70.

20. Kazakis, N., & Vargemezis, G. (2016). Voudouris K.S., Estimation of hydraulic parameters in a complex porous aquifer system using geoelectrical methods. *Science of The Total Environment*, 550, 742-750. <https://doi.org/10.1016/j.scitotenv.2016.01.133>
21. Lashkaripour, Gh., Yazdanpanah, F., & Ansari, Kh. (2013). *Investigating the relationship between permeability coefficient (k) and gradation and proposing the empirical formula*. In 8th Conference of the Iranian Association of Engineering Geology and the Environment, 6 November 2013, Ferdowsi University of Mashhad, Mashhad, Iran. (In Persian)
22. Lekone, O.S., Tafesse, N.T., Ranganai, R.T., Laletsang, K., & Masaka, T.L. (2023). Estimation of Aquifer Hydraulic Parameters Using Geo-electric Method in the Dukwi Wellfields, North-eastern Botswana, PREPRINT (Version 1) available at Research Square, 1-27. <https://doi.org/10.21203/rs.3.rs-3052755/v1>
23. Minutti, C., Illman W.A., & Gomez S. (2020). A New Inverse Modeling Approach for Hydraulic Conductivity Estimation Based on Gaussian Mixtures. *Water Resources Research*, 56(9), 1-21. <https://doi.org/10.1029/2019WR026531>
24. Nakhaei, M., & Lashkaripour, Gh. (2004). Estimation of Porosity and Specific yield of Shooru Aquifer by Resistivity method. *Journal of Science* (Tarbiat Moalem University), 3(1), 191-202. (In Persian)
25. Neuman, S.P. (1972). Theory of flow in unconfined aquifers considering delayed response of the water table. *Water Resources Research*, 8(4), 1031-1045. <https://doi.org/10.1029/WR008i004p01031>
26. Perdomo, S., Ainchil, J.E., & Kruse, E. (2014). Hydraulic parameters estimation from well logging resistivity and geoelectrical measurements. *Journal of Applied Geophysics*, 105, 50-58. <https://doi.org/10.1016/j.jappgeo.2014.02.020>
27. Rostami, A., Hassani-Giv, M. (2011). Investigating the relationship between cementation and porosity as determined by core analysis and comparing it to Shell and Borai's experimental relationships in one of the dolomite reservoirs in southwest Iran. *Scientific Journal of Oil and Gas Exploration and Production*, 82, 61-65. (In Persian)
28. Schimschal, U. (1981). The relationship of geophysical measurements to hydraulic conductivity at the brantley damsite, New Mexico. *Geoexploration*, 19(2), 115-125. [https://doi.org/10.1016/0016-7142\(81\)90024-7](https://doi.org/10.1016/0016-7142(81)90024-7)
29. Song, X.M., Kong, F.Z., & Zhan, S. (2011). Assessment of water resources carrying capacity in Tianjin city of China. *Water Resources Management*, 25, 857-873. <https://doi.org/10.1007/s11269-010-9730-9>
30. Taheri-tizro, A.T., Voudouris, K., & Basami, Y. (2012). Estimation of porosity and specific yield by application of geoelectrical method—a case study in western Iran. *Journal of Hydrology*, 454, 160-172. <https://doi.org/10.1016/j.jhydrol.2012.06.009>
31. Theis, C.V. (1935). The relation between the lowering of the piezometric surface and the rate and duration of discharge of a well using ground-water storage. *Eos, Transactions American Geophysical Union*, 16(2), 519-524. <https://doi.org/10.1029/TR016i002p00519>
32. Ullah, F., Su, L.J., Ullah, H., & Asghar, A. (2020). Estimation of hydraulic parameters of an unconfined aquifer by using geoelectrical and pumping test data: a case study of the Mandi Bahauddin District, Pakistan. *Arabian Journal of Geosciences*, 13, 484. <https://doi.org/10.1007/s12517-020-05488-3>
33. Urish, D.W. (1981). Electrical resistivity-hydraulic conductivity relationships in glacial outwash aquifers. *Water Resources Research*, 17(5), 1401-1408. <https://doi.org/10.1029/WR017i005p01401>
34. Vogeler, I., Carrick, S., Cichota, R., & Lilburne, L. (2019). Estimation of soil subsurface hydraulic conductivity based on inverse modelling and soil morphology. *Journal of Hydrology*, 574, 373-382. <https://doi.org/10.1016/j.jhydrol.2019.04.002>
35. Vu, M.T., & Jardani, A. (2022). Mapping of hydraulic transmissivity field from inversion of tracer test data using convolutional neural networks. CNN-2T, *Journal of Hydrology*, 606, 127443, <https://doi.org/10.1016/j.jhydrol.2022.127443>
36. Yeh, Y.J., Lee, C.H., & Chen, S.T. (2000). A tracer method to determine hydraulic conductivity and effective porosity of saturated clays under low gradients. *Groundwater*, 38, 522-529. <https://doi.org/10.1111/j.1745-6584.2000.tb00244.x>
37. Youssef, M.A.S. (2020). Geoelectrical analysis for evaluating the aquifer hydraulic characteristics in Ain El-Soukhna area, West Gulf of Suez, Egypt. *NRIAG Journal of Astronomy and Geophysics*, 9(1), 85-98. <https://doi.org/10.1080/20909977.2020.1713583>